#### М. Н. КРМОЯН, А. З. ЗАХАРЯН, Ш. М. АРУТЮНЯН

## СИСТЕМА УПРАВЛЕНИЯ АВТОМАТИЧЕСКОЙ РАБОТЫ АППАРАТУРЫ "ОРИОН"

Обсерватория "Орион" представляет собой связку из телескопа и фотогида, установленную со своей двухосной монтировкой на внешней стороне космического корабля "Салют". Каждая из осей монтировки снабжена своим влектромеханическим автоматическим приводом, управляемым как от визирного устройства, так и от индивидуального звездного двухкоординатного фотогида.

Электропитание обсерватории производится с борта космического корабля. Подключение всех механизмов обсерватории и управление ими также осуществляется с борта корабля, с помощью автономного пульта управления.

Блок-схема управления "Орион" показана на рис. 1. С целью предохранения аппаратуры "Орион" от вибрационных перегрузок она предварительно закрепляется с помощью пирочек. Расчековка произнодится уже после вывода на орбиту с помощью пиросредств, путем нажатия специальной кнопки на пульте управления.

Наведение телескопа "Орион" на нужную звезду производится визирным устройством, имеющим квадратное поле обзора со сторонами  $35 \times 35$  градусов. Описание принципа работы "Ориона" с использованием визирной системы приведено в [1]. Привод визира выполнен на двигателях постоянного тока типа ДПМ и дает возможность наводки по двум координатам и с двумя скоростями — 1.05 и 15 / сек.

Время экспонирования спектров звезд задается электромеханическим программно-временным устройством (ПВУ). Оно управляет протяжным механизмом спектрографа, открытием и закрытием затвора и механизмом расширения спектрограммы. Помимо ПВУ, те же операции можно выполнить и вручную с того же пульта управления. С него же производится ручное управление затвором фотогида. После окончания всех работ по фотографированию спектрограмм кассеты расчековываются пиросредствами и транспортируются в кабину корабля. Все операции по управлению и наведению контролируются с пульта при помощи световой индикации.

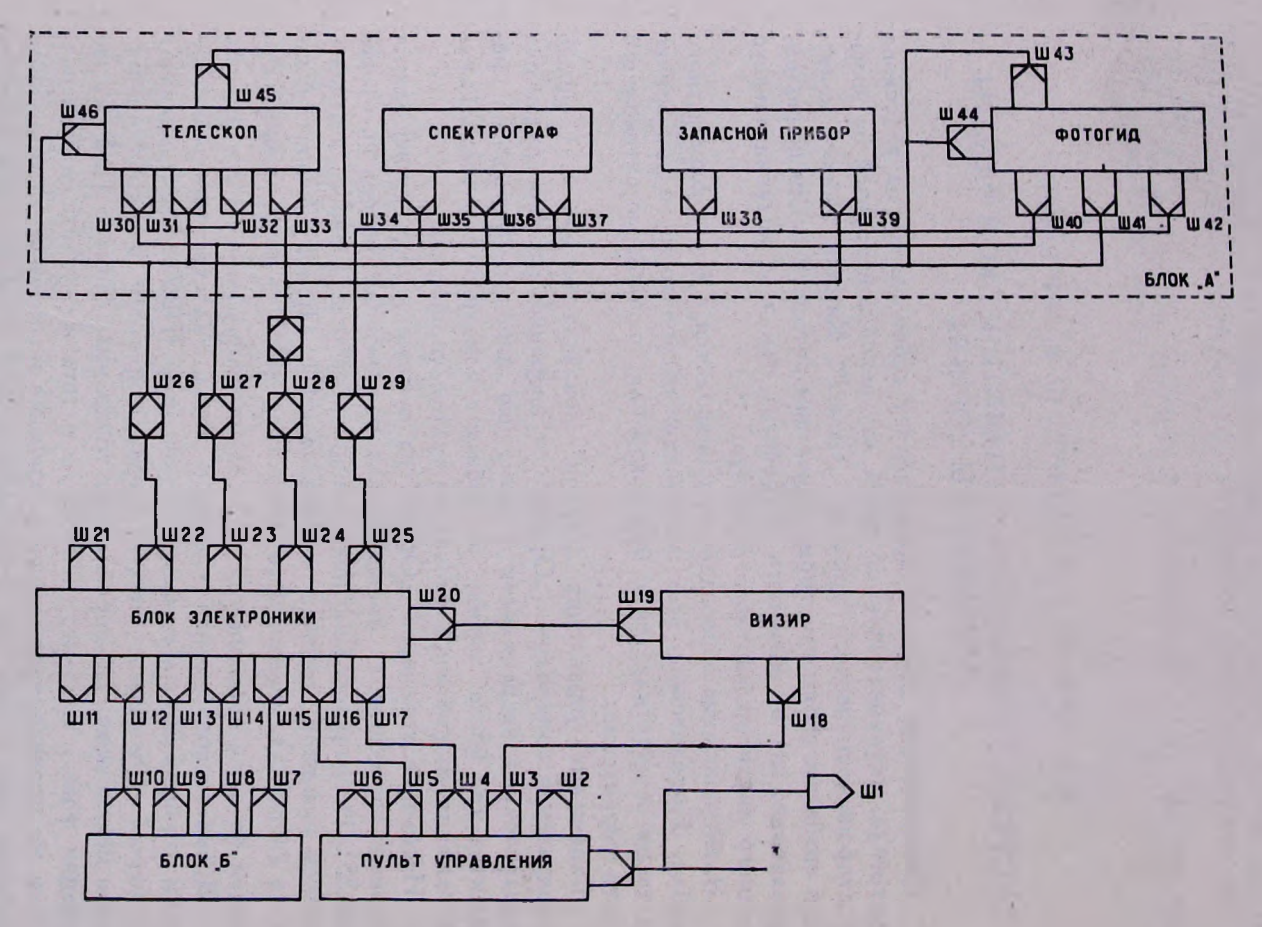


Рис. 1. Блок-схема системы "Орион".  $\mathfrak{th}$ . 1. «Огիп $\mathfrak{th}$ » րլոկային սխեման։

Следящая система работает в двух режимах, полуавтоматическом (наведение) и автоматическом (слежение). После наведения визира на звезду вручную включается следящая система, которая согласовывает оси телескопа и визира с точностью 10 угловых минут. Датчиками углового рассогласования в этом режиме являются прецезионные потенциометры, установленные на осях визира и монтировки, и включенные по мостовой схеме. После отработки рассогласования специальное устройство производит переключение следящей системы на работу от фотогида. В этом случае происходит захват фотогидом данной звезды и стабилизация оси телескопов с заданной точностью, т. е. ± 15".



Рис. 2. Блок-схема звездного фотогида. Նկ. 2. Աստղային տվիչի բլոկային սխեման

Изображение звезды строится входным объективом на анализатор, представляющий собой зеркальный модулятор, затем через линзу поля на каскад фотоумножителя (ФЭУ). Сигнал от ФЭУ поступает через предварительный усилитель на резонансный усилитель, после чего на вход следящей системы. Имеется возможность изменять поле зрения фотогида, а в случае необходимости закрывать его.

Основные технические параметры фотогида следующие: световой диаметр — 68~мм; фокусное расстояние — 450~мм; поле эрения —  $2.5^\circ$ ; зона нечувствительности — 5''; частота сигнала — 150~гg; линейная зона — 35'', область спектральной чувствительности — 3200-8000~A. Блок-схема следящей системы приведена на рис. 3.

Следящая система построена на базе двигателя постоянного тока. Для управления исполнительным двигателем применен принцип широтно-импульсной модуляции (ШИМ). Такой способ управления имеет ряд преимуществ перед непрерывным (высокий к. п. д., небольшие габариты и вес). При правильном выборе частоты переключений жесткость механических характеристик двигателя не уступает естественным характеристикам, а привод приобретает хорошие регулировочные свойства. Кроме того, при отсутствии сигнала якорь двигателя закорочен, что позволяет получить переходный процесс с малым перерегулированием.

Исследование динамических свойств импульсного привода с ШИМ, строго говоря, должно проводиться методами, применяемыми для импульсных систем. Однако, если выбрать частоту коммутации достаточно большой, то практически выполняются условия эквивалентности импульсной и непрерывной систем, сформулированные в теореме В. А. Котельникова [2]:

$$0 \leqslant \omega \leqslant \omega_{0} - \omega_{cp}, \omega_{0} \geqslant 2\omega_{cp},$$
 (1)

где  $\omega_0 = 2\pi f$  — угловая частота коммутации,  $\omega_{\rm cp}$  — угловая частота среза системы,  $\omega$  — угловая частота внешнего возмущения.

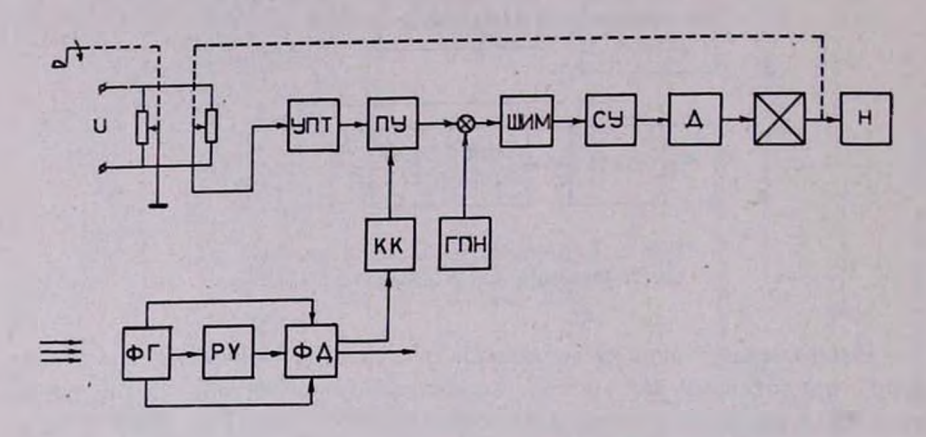


Рис. 3. Блок-схема следящих систем "Ориона" (Визир-телескоп и телескоп звезда).

Նկ. 3. «Օրիոնի» ճետևող սիստեմի թլոկային սխեման (ճեռադիտակ-աստղադիտակ և աստղադիտակ-աստղ)

В принципе системы с ШИМ нелинейны, но они с достаточной точностью могут быть рассмотрены как линейные, если все элементы, кроме импульсного звена, сами линейны [3, 4]. Таким образом, расчет динамики системы — устойчивость, точность, переходные процессы при малых отклонениях и т. д. — может быть проведен с помощью методов, разработанных для линейных непрерывных систем.

Порядок расчета системы в режиме слежения следующий. Сначала система рассматривается как непрерывная линейная и методом логарифмических частотных характеристик находится последовательное корректирующее устройство, обеспечивающее устойчивость и заданные динамические свойства системы. И лишь после втого методом динамического баланса исследуется влияние люфта редуктора на устойчивость системы.

На основании предъявленных к системе требований были построены желаемые логарифмическая амплитудная и фазовая частотная характеристики, а также амплитудная и фазовая частотная характеристики нескорректированной системы. Затем был произведен анализ последовательного корректирующего устройства.

Было выбрано пассивное корректирующее устройство интегродифференцирующего типа с передаточной функцией

$$W_{k(p)} = \frac{(0.7p+1)(0.03p+1)}{(6p+1)(0.004p+1)}.$$
 (2)

Включение корректирующего устройства обеспечивает получение требуемых динамических свойств системы. На устойчивость системы могут оказать большое влияние нелинейности (люфты, насыщение, сухое трение в редукторе). Здесь, однако, ограничимся исследованием влияния наиболее значительных из них — люфтов, с целью выяснения возможности появления автоколебаний.

Исследование проводилось методом гармонического баланса. Установить возможность существования автоколебаний, а также определить их амплитуды и частоты, можно с помощью уравнения [5]:

$$W_{a}(j\omega) J\left(\frac{A}{\Delta}\right) + 1 = 0, \tag{3}$$

где  $W_1(j\omega)$ — передаточная функция линейной части системы  $J\left(\frac{A}{\Delta}\right)$ — эквивалентная амплитудная характеристика нелинейного,

Обычно решение этого уравнения находят графическим путем. Для этой цели на комплексной плоскости строится амплитудно-фазовая характеристика линейной части системы и обратная экнивалентная амплитудная характеристика нелинейного влемента с обратным знаком. Если эти две характеристики пересекаются, то это значит, что существует действительное значение частоты, удовлетворяющее уравнению (3). Если же кривые  $W_{\bullet}(j\omega)$  и  $J\left(\frac{A}{\Delta}\right)$  не пересекаются,

то автоколебания в системе невозможны. Проделав эти построения для нашей системы (рис. 4), увидим, что в нашем случае под действием люфта автоколебания вевозможны.

Экспериментальное исследование следящей системы заключалось в определении реакции на скачок (рис. 5). Перерегулирование получается больше расчетного из-за наличия насыщения в характеристике фотодатчика. Несмотря на это, система полностью удовлетворяет заданным показателям качества.

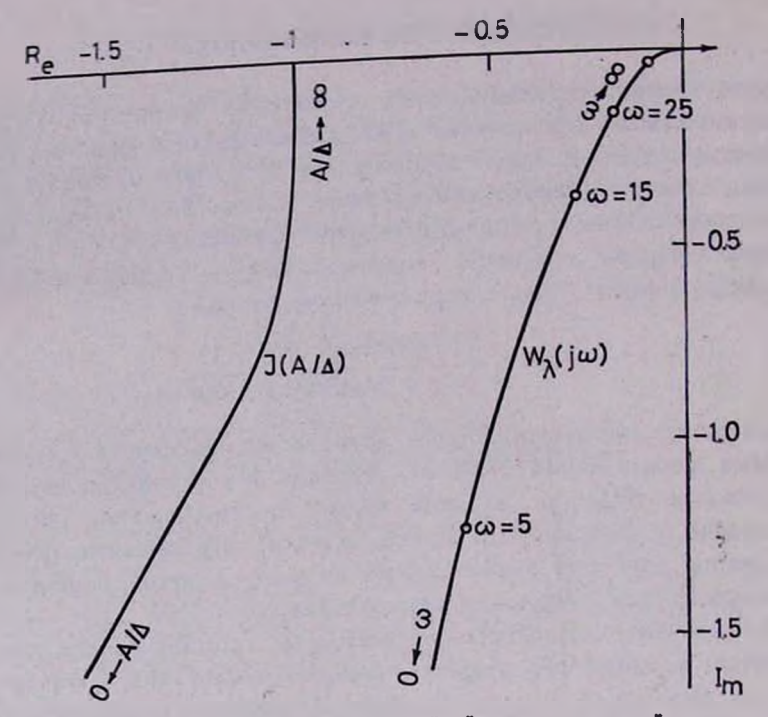


Рис. 4. Частотные карактеристики линейной части следящей системы и нелинейного звена (люфта). Եկ. 4. Հետևող սիստեմի գծային մասի և ոչ գծային օղակի ճանախականությունային ընութագիրը։

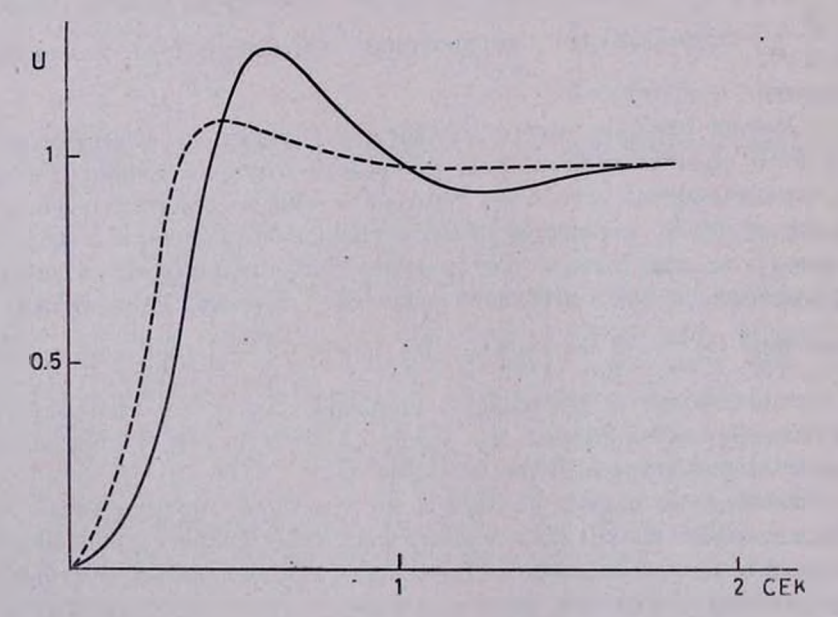


Рис. 5. Графики переходного процесса: сплошная линия — вксперимент, пунктирпая линия—расчетный (ордината — напряжение в относительных воличинах).

Ъկ. 5. Անցումային պրոցեսի գրաֆիկը. նոծ գիծը—Էքսպերիմենաը, ընդնատված գիծը—

հաշվարկը (отդինատում բերված է լարվածությունը կամայական միավորներով):

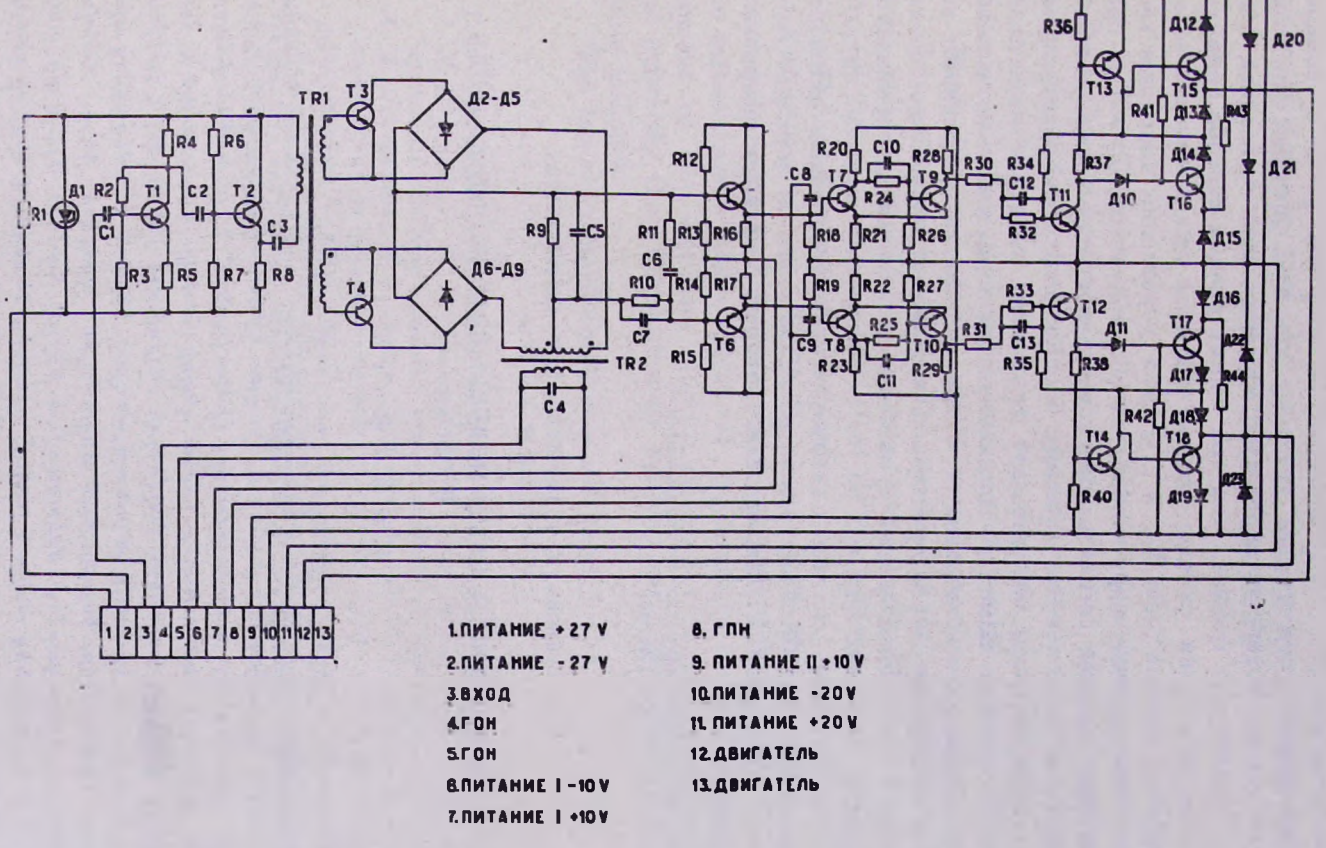


Рис. 6. Принципиальная электрическая схема усилительной части следящей системы "Ориона". հվ. 6. «Օրիոն» սիստեմի ուժեղացուցիչային ճանգույցի սկզբունքային էլեկ տրական սխեման։

Принципиальная схема следящей системы приведена на рис. 6-Выходной каскад (Т11 + Т18) построен по мостовой схеме с несимметричным законом коммутации транзисторов. Как известно, при этом дополнительные потери в двигателе, обусловленные пульсацией тока якоря, значительно меньше, чем при симметричном способе коммутации. При отсутствии сигнала якорь двигателя закорачивается через насыщенные транзисторы Т13 и Т18. Для управления выходным каскадом используется широтно-импульсный модулятор  $T_1 \div T_{10}$ , преобразующий входной сигнал в последовательность импульсов неизменной частоты, длительность которых пропорциональна управляющему сигналу. Он построен по принципу сравнения на входе порогового влемента (триггера Шмидта) напряжения, пропорционального сигналу рассогласования с пилообразным. Схема надежна и обеспечивает хорошую линейность характеристики "вход-выход", изменение скважности от 0 до 1. Резонансный усилитель и фазовый дискриминатор собраны по обычным схемам.

В разработке системы автоматического управления "Ориона" принимали участие Ф. Хачатрян и С. Сагателян, а также В. Арутюнян, Р. Айвазян и Э. Мартиросян, которым выражаем искреннюю благодарность.

Филива БАО по Космическим Исследованиям. СКБ "Астро"

U. V. Prunsuv, u. g. gupursuv, c. u. Lurappsanvsuv

## «ՕՐԻՈՆ» ՈՒՂԵԾՐԱՅԻՆ ԱՍՏՂԱԴԻՏԱՐԱՆԻ ԱՎՏՈՄԱՏ ԿԱՌԱՎԱՐՄԱՆ ՍԻՍՏԵՄԸ

## Udhnhnid

βերվում է «Օրիոն» ուղեծրային աստղադիտարանի կառավարման և հետևելու էլեկտրական սիստեմի նկարագրությունը, այն է, հետևող օպտիկական սարքի, կառավարման խցիկի և մնացած էլեկտրական սարքերի աշխատանքի սկզբունքները և կառուցվածքը։ Հիմնավորվում է լայնական-իմպուլսային սկզբունքները և կառուցվածքը։ Հիմնավորվում է լայնական-իմպուլսային սկզբունքի ընտրությունը ներկա դեպքի համար։ Շարադրված է հաշխարհների մեթոդը, հարմոնիկ հաշվեկշռի սկզբունքով քննարկվել է լյուֆտերի ազդեցությունը սիստեմի կայունության վրա։ Բերված է ուժեղացնող սիստեմների սխեմաները, ինչպես նաև անցումային պրոցեսի կորը, հանված փորձնական ճանապարհով՝ մեկուսացված թռիչքի համար։ Այդ կորը տարբերվում է հաշվայինից աննջան չափով, որտեղից հետևցնում ենք, որ ընտըրաված հետևող սիստեմը բավարարում է տրված տեխնիկական պահանջներին։

#### M. N. KRMOYAN, A. Z. ZAKHARYAN, SH. M. HARUTYUNYAN

# THE CONTROL SYSTEM OF THE AUTOMATIC OPERATION OF THE "ORION" EQUIPMENT

### Summary

A description of the electric scheme of orientation and tracking of the "Orion" system is given. The method of the operation of the system is set forth along with a description of the function of several parts: the photoguide, the control desk and the sight. Reasons for the choice of the method of pulse-width modulation are given.

Block diagrams of the whole system, the follow-up system and the photoguide are provided. The method of estimating the dynamics of the follow-up system is formulated concisely. A corrector is selected. Through harmonic balance the effect on the stability of the gap system in the reducer has been investigated.

A scheme of the amplifying part of the follow-up system with a detailed description of its function is provided. The paper also carries the experimentally taken curve of the transient process in the development of the unit-jump slightly differing from the calculated jump and indicating that the follow-up system meets the technical requirements assigned.

The basic technical conditions are given.

#### **ЛИТЕРАТУРА**

- 1. Г. А. Гурзадян, Сообщ. Бюраканск. обс., вып., 45, 5, 1972.
- 2. Л. Д. Пинкратьев, Б. И. Петров, В. А. Полковников, В. П. Широков, Импрульсные и релейные приводы с электромагнитными муфтами, М., 1970, стр. 22.
- 3. Л. Д. Панкратьев, И. Г. Паппе, Б. И. Петров, В. А. Полковников, Импульсные и релейные следящие приводы постоянного тока с полупроводниковыми усилителями, М., 1968, стр. 57.
- 4. Я. З. Цыпкин, Теория импульеных систем, М., 1958, стр. 299.
- 5. Техническая кибернетика, под редакцией В. В. Солодовникова, книга III, часть I, М., 1967, стр. 337.